

清水建設(株) 土木技術部 正員 山田正男

1. まえがき わが国で実施されてきた地盤凍結工事では、工事終了後における凍土の自然解凍状況(自然解凍中の凍土内温度・地表面の沈下など)を周到に計測した報告は、ほとんど見られない。この主な理由は、工事終了後、ただちに本体構造物の実用態勢となるので、自然解凍状況測定の位置と時間は、かなり制限されて十分な計測計画がたてられないものと思われる。本文は、特に軟弱土の凍結による凍土の自然解凍状況を200日程度計測した報告である。

2. 凍結管・測温管の配置と土質 図-1は凍結管($\phi 76.3$ mm), 测温管($\phi 48.6$ mm)の配置図である。凍結管は直径3 mの円周上に52.36 cmピッチに配置して、地表から6 mまで埋設した。测温管は図示のように50 cmピッチに配置して、地表から8 mまで埋設した。测温管内には、比重1.26の塩化カルシウム溶液(-38.6°Cの凍結温度)を充填し、対流止めを設置した。

図-1. b. に土層構成を示す。深度7.4 mまでは軟弱粘土で、7.4 m以深は堅い土丹である。地表面の埋土は、単位体積重量が1.7 t/m³程度の小礫まじり土丹であり、下層の粘土よりかなり堅い。表-1は乱さない軟弱粘土の土質試験結果である。

採取深度 m	3.0~3.8	4.0~4.8
自然含水比 w_n %	81.2	82.1
土粒子比重 G_s	2.67	2.71
湿润密度 γ g/cm ³	1.56	1.58
飽和度 S_r %	104	103
粒度分析		
砂分 %	5	9
シルト分 %	50	51
粘土分 %	45	40
三角座標分類名	粘土	粘土
液性限界 w_L %	81.8	81.9
塑性限界 w_P %	26.8	32.7
一軸圧縮強さ σ_u kg/cm ²	0.31	0.34
变形係数 E kg/cm ²	14.7	15.0
静止土圧係数 K_0	0.79	

表-1 軟弱粘土の土質定数

3. 地盤冷却・解凍の概要 使用した冷凍機は、31.76冷凍屯の冷凍能力で、凍結管内に-20°Cのブラインを循環させて、12月10日から翌年の2月15日まで地盤を冷却した。2月15日時刻における最終凍結領域を図-1, b. 及び図-1(a) A-A断面図、および土層図(b)。

冷凍機の運転停止以後は、自然解凍とし、200日間程度を凍土内温度と地表面沈下の測定期間とした。

4. 測定結果 (1) 凍土の自然解凍 図-2は、冷凍機停止(2月15日)以後における深度3, 5mにおける測温結果である。凍土内温度は測温管NO.15~18で、凍土外周温度は測温管NO.12~14で把握される。片対数座標上で示す凍土内温度は、-2°Cで明らかな折衷となることが見出される。この-2°Cは、この土の凍結温度-2°Cによく合致するので、結局、この凍土の解凍温度は-2°Cとみられる。一方、凍土内温度が-2°Cに近づくまでは、凍土外周温度は緩慢に低下するが、その後は、上昇することも見出される。

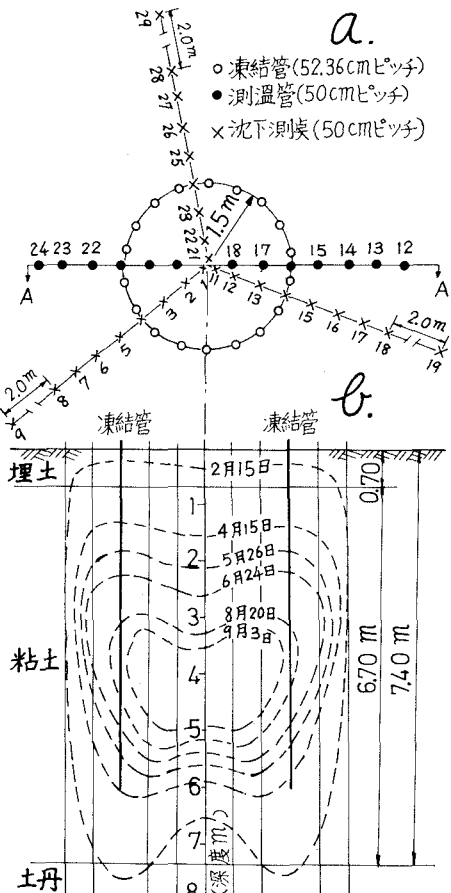


図-1 凍結管、測温管および沈下測候の配置平面図(a)、a.図のA~A断面図、および土層図(b)

なお、図-1, b, c には、経日解凍領域を等線で示す。図bに示す5月26日が、自然解凍日数100日目に相当する。

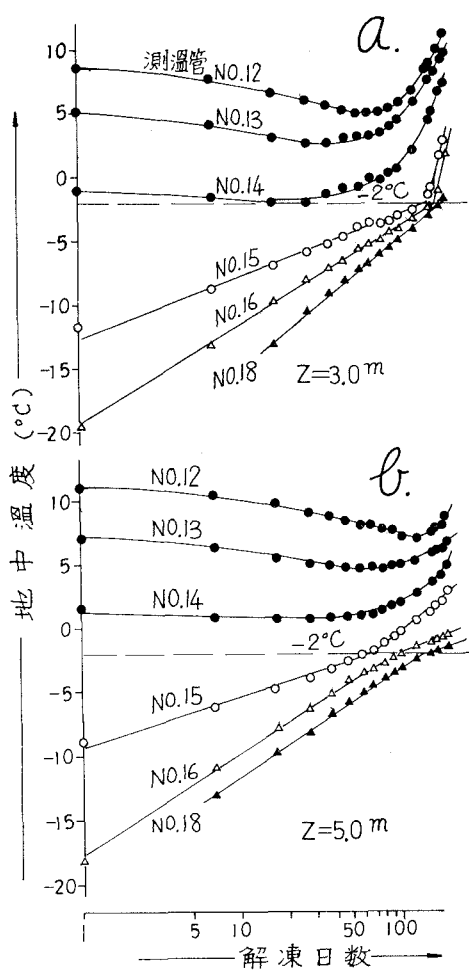


図-2 深度3m(a), 5m(b)の経日地中温度

(2) 地表面の沈下 図-3は凍土の解凍に伴う地表面の経日沈下である。図-3を解凍日数の平方根と地表面の沈下座標上に書直すと図-4となる。

原地表面からの沈下は、解凍日数100日頃までは無視できるほど小さいが、100日頃以後では顕著に大きい。この大きさ現われる沈下と解凍日数の平方根との関には、次のような簡単な関係が見出される。

$$\delta = C (\sqrt{D'} - \sqrt{D_0})$$

ここで、 δ は原地表面からの沈下(cm), C は定数, $D' \approx 100$ 日, $D_0 \leq D' \leq$ 解凍終了日数である。

5. あとがき 凍土の自然解凍日数はかなりかかるとともに、特に軟弱粘土では解凍に伴う沈下が顕著に現われるので、この沈下対策を事前に考慮する。

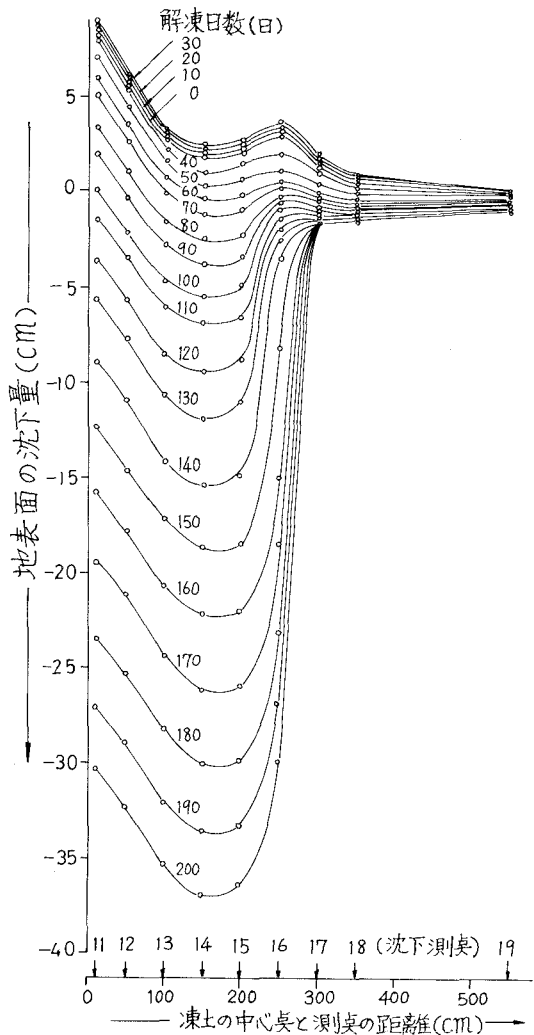


図-3 地表面の経日沈下

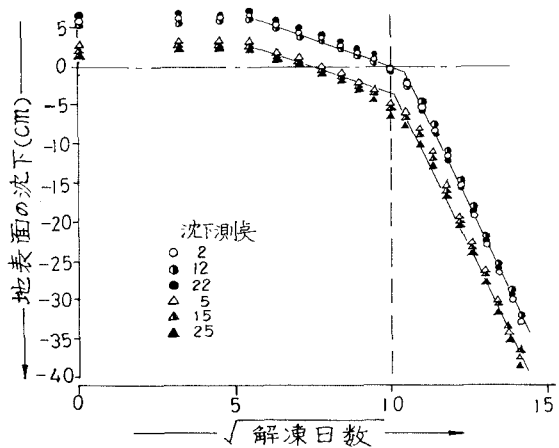


図-4 解凍日数の平方根と地表面の沈下関係